

УДК 539.3

ПЛОСКАЯ КОНТАКТНАЯ ЗАДАЧА ДЛЯ ПЛАСТИНКИ В ЩЕЛИ УПРУГОЙ ПЛОСКОСТИ

Докт. техн. наук, проф. БОСАКОВ С. В.

Белорусский национальный технический университет

Решение плоской контактной задачи для штампа, расположенного в щели упругой плоскости, впервые опубликовано в [1]. В то же время авторы [2] получили приближенное решение этой задачи с помощью двойных сил, которые создают разрыв сплошности упругой плоскости. Методом ортогональных многочленов [3] решение получено в [4, 5]. В [6] рассматриваемая задача классифицируется как задача об отслоившемся включении, а также приводится ее решение. Осесимметричная задача для круглой пластинки рассмотрена в [7]. В [8] решена задача для пластинки вблизи границы упругой полуплоскости.

Рассмотрим пластинку конечной изгибной жесткостью D , длиной $2l$, прижимаемой вертикальной сосредоточенной силой P к верхней границе горизонтальной щели в упругой плоскости с постоянными E и v . Будем считать, что на контакте пластинки с плоскостью возникают только нормальные контактные напряжения. Относительные вертикальные перемещения границы горизонтальной щели (рис. 1), к которой приложена единичная вертикальная сила, определяются по формуле [4]

$$K(x,t) = -\frac{1-v^2}{\pi E} \ln \left| 1 - \frac{x}{l} \frac{t}{l} - \sqrt{1 - \frac{x^2}{l^2}} \sqrt{1 - \frac{t^2}{l^2}} \right|, \quad (1)$$

где x – абсцисса точки щели, в которой определяется перемещение; t – то же, в которой приложена сила.

Обозначим $p(x)$ – искомый закон распределения контактных напряжений. Следуя в дальнейшем последовательности изложения П. И. Клубину [9], составим следующие разрешающие уравнения:

- интегральное уравнение рассматриваемой контактной задачи для вертикальных перемещений верхней грани щели

$$V(x) = \int_{-l}^l p(t) K(x,t) dt; \quad (2)$$

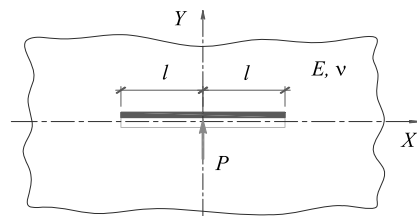


Рис. 1

- уравнения равновесия:

$$\int_{-l}^l p(x) dx = P; \quad \int_{-l}^l xp(x) dx = 0; \quad (3)$$

- дифференциальное уравнение изгиба пластинки

$$\frac{d^4 Y}{dx^4} = -\frac{p(x)}{D}; \quad (4)$$

- граничные условия для изгибающего момента и поперечной силы на краях пластинки при $x = \pm l$:

$$M = -D \frac{d^2 Y}{dx^2} = 0; \quad Q = -D \frac{d^3 Y}{dx^3} = 0; \quad (5)$$

- условие равенства прогибов пластинки $Y(x)$ вертикальным перемещениям границы щели $V(x)$

$$Y(x) = V(x). \quad (6)$$

Будем искать неизвестный закон распределения контактных напряжений в виде ряда по полиномам Чебышева первого рода с весом

$$p(x) = \frac{\sqrt{1-\frac{x}{l}} + \sqrt{1+\frac{x}{l}}}{\left(1-\frac{x^2}{l^2}\right)^{\frac{3}{4}}} \sum_{m=0}^{\infty} A_{2m} T_{2m}\left(\sqrt{1-\sqrt{1-\frac{x^2}{l^2}}}\right), \quad (7)$$

где A_{2m} – неизвестные коэффициенты; $T_{2m}(z)$ – полиномы Чебышева первого рода [10].

Заметим, что полиномы Чебышева

$$T_{2m+1}\left(\sqrt{1-\sqrt{1-\frac{x^2}{l^2}}}\right), \quad m = 0, 1, 2, \dots, m,$$

имеют разрыв в производной при $x = 0$ и поэтому отброшены.

Тогда второе уравнение равновесия (3) удовлетворяется тождественно ввиду четности принятых полиномов Чебышева, а первое дает ввиду их ортогональности

$$A_0 = \frac{P}{2\pi\sqrt{2}l}. \quad (8)$$

Действительно, рассмотрим интеграл

$$\int_{-l}^l \frac{\sqrt{1-\frac{x}{l}} + \sqrt{1+\frac{x}{l}}}{\left(1-\frac{x^2}{l^2}\right)^{\frac{3}{4}}} T_{2m}\left(\sqrt{1-\sqrt{1-\frac{x^2}{l^2}}}\right) \times$$

$$\frac{D}{l^4} Y(x) = A_0 F_0(x) + A_2 F_2(x) + A_4 F_4(x) + \dots + C_4 \frac{D}{l^4} + C_3 \frac{Dx}{l^4} + C_2 \frac{x^2}{l^4} + C_1 \frac{x^3}{l^4}; \quad (12)$$

$$F_0(x) = \frac{1}{72\sqrt{2}} \left[\sqrt{2\cos\eta} \left(31\cos\frac{\eta}{2} - 3\cos\frac{3\eta}{2} - 11\cos\frac{5\eta}{2} \right) + 57\ln\left(\sqrt{2\cos\frac{\eta}{2}} + \sqrt{\cos\eta}\right) - 36\cos 2\eta \ln\left(\sqrt{2\cos\frac{\eta}{2}} + \sqrt{\cos\eta}\right) + 6\arcsin\left(\sqrt{2\sin\frac{\eta}{2}}\right)(21\sin\eta - 2\sin 3\eta) \right];$$

$$F_2(x) = \frac{1}{192} \left[2\sqrt{\cos\eta} \left(-68\cos\frac{\eta}{2} + 57\cos\frac{3\eta}{2} + 8\cos\frac{5\eta}{2} - 2\cos\frac{7\eta}{2} \right) + 111\sqrt{2}\ln\left(\sqrt{2\cos\frac{\eta}{2}} + \sqrt{\cos\eta}\right) - 72\sqrt{2}\cos 2\eta \ln\left(\sqrt{2\cos\frac{\eta}{2}} + \sqrt{\cos\eta}\right) + 48\sqrt{2}\sin\eta \arcsin\left(\sqrt{2\sin\frac{\eta}{2}}\right) \right]; \quad (13)$$

$$F_4(x) = \frac{1}{32} \left[\frac{2}{15} \sqrt{\cos\eta} \left(-673\cos\frac{\eta}{2} + 455\cos\frac{3\eta}{2} + 79\cos\frac{5\eta}{2} - 10\cos\frac{7\eta}{2} + 2\cos\frac{9\eta}{2} \right) + 47\sqrt{2}\ln\left(\sqrt{2\cos\frac{\eta}{2}} + \sqrt{\cos\eta}\right) - 32\sqrt{2}\cos 2\eta \ln\left(\sqrt{2\cos\frac{\eta}{2}} + \sqrt{\cos\eta}\right) - 2\sqrt{2}\sin\eta \arcsin\left(\sqrt{2\sin\frac{\eta}{2}}\right) \right];$$

$$\times T_{2n}\left(\sqrt{1-\sqrt{1-\frac{x^2}{l^2}}}\right) dx. \quad (9)$$

Сделаем в (9) подстановку $x = l \sin\eta$. Получаем

$$\int_{-\pi/2}^{\pi/2} \frac{2\cos\frac{\eta}{2}}{\sqrt{\cos\eta}} T_{2m}\left(\sqrt{2}\sin\frac{\eta}{2}\right) T_{2n}\left(\sqrt{2}\sin\frac{\eta}{2}\right) d\eta. \quad (10)$$

Если в (10) принять $t = \sqrt{2}\sin\frac{\eta}{2}$, то придем к известному из теории ортогональных многочленов свойству ортогональности полиномов Чебышева первого рода [10]:

$$\int_{-1}^1 \frac{T_{2m}(t) T_{2n}(t)}{\sqrt{1-t^2}} dt = \begin{cases} \pi, & m = n = 0; \\ \frac{\pi}{2}, & m = n > 0; \\ 0, & m \neq n, \end{cases} \quad (11)$$

но только с множителем $2\sqrt{2}$. Отметим, что (8) является точным решением для жесткого штампа [1].

Решение дифференциального уравнения (4) при условии (7) представим в следующей форме:

$$\sin \eta = \frac{x}{l}; \quad \cos \eta = \sqrt{1 - \frac{x^2}{l^2}}; \quad \sin \frac{\eta}{2} = \sqrt{\frac{1}{2} \left(1 - \sqrt{1 - \frac{x^2}{l^2}} \right)}; \quad \cos \frac{\eta}{2} = \sqrt{\frac{1}{2} \left(1 + \sqrt{1 - \frac{x^2}{l^2}} \right)}.$$

Для выполнения граничных условий запишем выражения для поперечной силы и изгибающего момента:

$$\begin{aligned} Q(x) &= P \frac{1}{\pi} \arcsin \sqrt{1 - \sqrt{1 - \frac{x^2}{l^2}}} - 4lA_2 \sqrt{\cos \eta} \sin \frac{\eta}{2} + 4lA_4 \sqrt{\cos \eta} \left(\sin \frac{3\eta}{2} - 2 \sin \frac{\eta}{2} \right) + \dots + C_1; \\ M(x) &= \frac{Pl}{\pi} \left[\frac{\sqrt{1 - \frac{x}{l}} + \sqrt{1 + \frac{x}{l}}}{2\sqrt{2}} \sqrt[4]{1 - \frac{x^2}{l^2}} + \frac{1}{2} \ln \left(\sqrt{2} \frac{\sqrt{1 - \frac{x}{l}} + \sqrt{1 + \frac{x}{l}}}{2} + \sqrt[4]{1 - \frac{x^2}{l^2}} \right) \frac{x}{l} \arcsin \sqrt{1 - \sqrt{1 - \frac{x^2}{l^2}}} \right] + \\ &+ \frac{1}{2} l^2 A_2 \left[2\sqrt{\cos \eta} \left(-2 \cos \frac{\eta}{2} + \cos \frac{3\eta}{2} \right) + 3\sqrt{2} \ln \left(\sqrt{2} \cos \frac{\eta}{2} + \sqrt{\cos \eta} \right) \right] + \\ &+ 4l^2 A_4 \left[-\frac{1}{6} \sqrt{\cos \eta} \left(10 \cos \frac{\eta}{2} - 3 \cos \frac{3\eta}{2} + \cos \frac{5\eta}{2} \right) + \sqrt{2} \ln \left(\sqrt{2} \cos \frac{\eta}{2} + \sqrt{\cos \eta} \right) \right] + \dots + C_1 x + C_2. \end{aligned} \quad (14)$$

Выполнение граничных условий (5) и условий симметрии при учете (14) и (12) дает:

$$C_2 = C_3 = 0; \quad C_1 = -\frac{P}{2} \operatorname{sign} \frac{x}{l}. \quad (15)$$

Для практически важного случая жесткого штампа приводим формулы для поперечной силы и изгибающего момента в сечениях пластиинки

$$\begin{aligned} Q(x) &= P \left(\frac{1}{\pi} \arcsin \sqrt{1 - \sqrt{1 - \frac{x^2}{l^2}}} - \frac{1}{2} \right) \operatorname{sign} x; \\ M(x) &= \frac{Pl}{\pi} \left[\frac{\sqrt{1 - \frac{x}{l}} + \sqrt{1 + \frac{x}{l}}}{2\sqrt{2}} \sqrt[4]{1 - \frac{x^2}{l^2}} + \right. \\ &+ \frac{1}{2} \ln \left(\sqrt{2} \frac{\sqrt{1 - \frac{x}{l}} + \sqrt{1 + \frac{x}{l}}}{2} + \sqrt[4]{1 - \frac{x^2}{l^2}} \right) + \\ &\left. + \frac{x}{l} \arcsin \sqrt{1 - \sqrt{1 - \frac{x^2}{l^2}}} - \frac{Pl}{2} \frac{x}{l}, \quad x \geq 0. \right] \end{aligned} \quad (16)$$

Причем максимальный изгибающий момент в центре пластиинки

$$M_{\max} = \frac{Pl}{2\pi} \left[\sqrt{2} + \ln(1 + \sqrt{2}) \right]$$

превышает аналогичный для пластиинки на упругой полуплоскости [2].

Подставим (7) в интегральное уравнение (2), сделаем подстановку $x = l \sin \xi$; $t = l \sin \eta$ и используем спектральное соотношение Г. Я. Попова (7.5) при $\alpha = \pi/2$ [6, с. 300]:

$$\begin{aligned} \int_{-\frac{\pi}{2}}^{\frac{\pi}{2}} \ln \left| \sin \frac{\xi - \eta}{2} \right| \frac{\cos \frac{\eta}{2}}{\sqrt{\cos \eta}} T_{2n} \left(\sqrt{2} \sin \frac{\eta}{2} \right) d\eta &= \\ &= -\frac{3\sqrt{2}}{2} \pi \ln 2, \quad n = 0; \\ -\frac{\pi}{2n} T_{2n} \left(\sqrt{2} \sin \frac{\xi}{2} \right), \quad n = 1, 2, \dots \end{aligned} \quad (17)$$

В итоге получаем для перемещений верхнего берега щели

$$\begin{aligned} V(x) &= \frac{1 - v^2}{\pi E} l \left[-4\pi\sqrt{2} \ln 2 A_0 - \right. \\ &\left. - \sum_{n=1}^{\infty} \frac{2\pi\sqrt{2}}{n} A_{2n} T_{2n} \left(\sqrt{1 - \sqrt{1 - x^2/l^2}} \right) \right]. \end{aligned} \quad (18)$$

Так как в бесконечной изотропной однородной плоскости перемещения определяются с точностью до неопределенной постоянной [2, 9], которой является C_4 в (12), приравниваем относительные перемещения верхнего берега щели и прогибы пластиинки

$$V(x) - V(0) = Y(x) - Y(0). \quad (19)$$

Обе части полученного соотношения умножим на $\frac{\sqrt{1-x/l} + \sqrt{1+x/l}}{(1-x^2/l^2)^{3/4}} T_{2n} \left(\sqrt{1-\sqrt{1-x^2/l^2}} \right) dx$, $n = 0, 1, 2, \dots$, и проинтегрируем в пределах $(-l, l)$. Полученную систему линейных алгебраических уравнений можно решать способом усечения [3].

Как показано в [2, 3, 9], при применении способа ортогональных многочленов достаточно ограничиться несколькими первыми членами ряда (7). Поэтому для первых трех коэффициентов разложения (7) можно получить:

$$A_2 = -\frac{0,1164\beta(2028,3539+\beta)}{(42,6311+\beta)(952,8538+\beta)} \frac{P}{l}; \quad (20)$$

$$A_4 = \frac{(188,7709+0,6126\beta)\beta}{40621,2263+\beta(995,4850+\beta)} \frac{P}{l},$$

где $\beta = \frac{\pi EI^3}{(1-v^2)D}$ – показатель гибкости по М. И. Горбунову-Посадову [2]. Структура получаемой усеченной системы такова, что при $\beta = 0$ все $A_{2m} = 0$, $m = 1, 2, 3, \dots$.

На рис. 2, 3 приведены графики распределения контактных напряжений, поперечных сил и изгибающих моментов на полудлине пластиинки при $\beta = 15$ по (20).

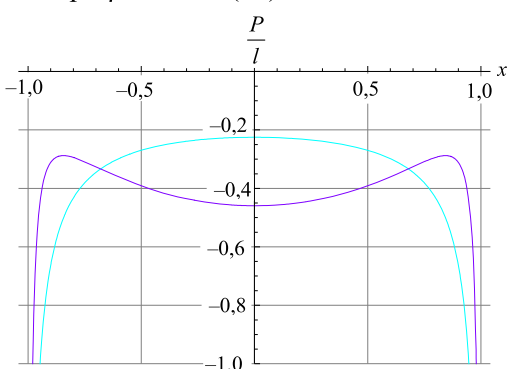


Рис. 2

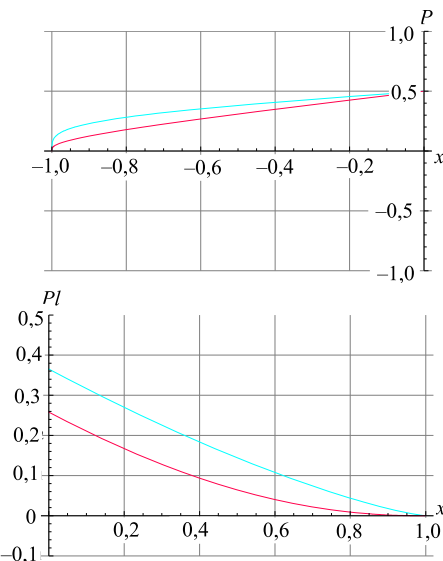


Рис. 3

ВЫВОД

Получено решение контактной задачи для круглой пластиинки в щели бесконечной плоскости способом ортогональных многочленов, причем в отличие от решения [5] точно выделяется особенность в контактных напряжениях у краев пластиинки. Данные результаты могут использоваться для расчетов анкерных плит глубокого заложения и закладных деталей железобетонных конструкций.

ЛИТЕРАТУРА

- Фотиева, Н. Н. К расчету анкерных плит глубокого заложения / Н. Н. Фотиева, В. А. Лыткин // ОФиМГ. – 1969. – № 5. – С. 8–10.
- Горбунов-Посадов, М. И. Расчет конструкций на упругом основании / М. И. Горбунов-Посадов, Т. А. Маликова, В. И. Соломин. – М.: Стройиздат, 1984. – 680 с.
- Развитие теории контактных задач в СССР / под ред. Л. А. Галина. – М.: Наука, 1976. – 493 с.
- Босаков, С. В. Решение одной контактной задачи для плоскости с щелью / С. В. Босаков // ПМ. – 1977. – Т. XIII, № 7. – С. 127–129.
- Босаков, С. В. Расчет заглубленных анкерных плит конечной жесткости / С. В. Босаков // ПМ. – 1980. – Т. XVI, № 3. – С. 81–87.
- Попов, Г. Я. Концентрация упругих напряжений возле штампов, разрезов, тонких включений и подкреплений / Г. Я. Попов. – М.: Наука, 1982. – 342 с.
- Жуковский, И. Н. Контактная задача для пластиинки, расположенной в щели бесконечного тела / И. Н. Жуковский // ПМ. – 1975. – Т. XI, № 11. – С. 124–128.
- Босаков, С. В. Плоская задача расчета анкерных плит неглубокого заложения / С. В. Босаков // ПМ. – 1985. – Т. XXII, № 1. – С. 45–52.
- Клубин, П. И. Расчет балочных и круглых плит на упругом основании / П. И. Клубин // Инж. сб. – 1952. – № 12. – С. 95–135.
- Градштейн, И. С. Таблицы интегралов, сумм, рядов и произведений / И. С. Градштейн, И. М. Рыжик. – М.: Наука, 1963. – 1100 с.

Поступила 22.10.2010